

# سنگنگاری، ژئوشیمی، منشأ و جایگاه زمین‌ساختی توده گرانیتوییدی بی‌بی مریم (افضل آباد- نهبندان)

نوشته: سید سعید محمدی<sup>\*</sup>، منصور وثوقی عابدینی<sup>\*\*</sup>، محمد پورمعافی<sup>\*\*\*</sup>،

محمد هاشم امامی<sup>\*\*\*</sup> و محمد مهدی خطیب<sup>\*</sup>

\* گروه زمین‌شناسی، دانشکده علوم، دانشگاه بیرجند، بیرجند، ایران \*\* گروه زمین‌شناسی، دانشکده علوم زمین، دانشگاه شهید بهشتی، تهران، ایران

\*\*\* سازمان زمین‌شناسی و اکتشافات معدنی کشور، تهران، ایران

## Petrography, Geochemistry, Genesis and Tectonic Setting of Bibi Maryam Granitoid (Afzal Abad-Nehbandan)

By: S. S. Mohammadi\*, M. Vossoughi Abedini\*\*, M. Pourmoafi\*\*,  
M. H. Emami \*\*\* & M. M. Khatib\*

\*Geology Department, Faculty of Science, Birjand university, Birjand, Iran Shahid Beheshti university, Tehran, Iran

\*\*Department of Geology, Faculty of Earth Science, \*\*\*Geological survey of Iran, Tehran, Iran

تاریخ پذیرش: ۸۵/۰۵/۲۳

تاریخ دریافت: ۸۴/۰۵/۱۷

### چکیده

توده گرانیتوییدی بی‌بی مریم با وسعت حدود ۵ کیلومترمربع درون نوار افیولیت ملانژ خاور ایران، در پهنه ساختاری سیستان واقع شده، این توده نفوذی از تونالیت- کوارتزدیوریت و گرانوپلیوریت تشکیل شده است. کانیهای مافیک شامل هورنبلند و بیوتیت در کوارتزدیوریت- تونالیت هستند. وجود آنکلاوهای میکروپلیوریتی در تونالیتها و نبود آن در گرانوپلیوریت از ویژگیهای توده مورد مطالعه است. بافت‌های پرتیتی و گرانوفیری در گرانوپلیوریتها به ترتیب بیانگر کم بودن فشار بخار آب و سرد شدن به نسبت سریع در ژرفای کم است.

بررسی ژئوشیمیایی سنگهای مورد مطالعه نشان‌دهنده ویژگی کلسیمی- قلیایی و متاآلومین تا پرآلومین است. بررسی عناصر کمیاب در نمودارهای عنکبوتی بیانگر کاهش Nb و تمرکز بالای عناصر K، Rb، Ba و Th است که می‌تواند نشان‌دهنده آغشتنگی ماجمای اولیه حاصل از ذوب بخشی گوشته با مواد پوسته‌ای باشد. با وجود اینکه توده نفوذی بی‌بی مریم سنگهای اولترامافیک را قطع نموده است، ویژگیهای سنگنگاری و ژئوشیمیایی پلازیو گرانیتها اقیانوسی را نداشته و بیشتر ویژگیهای آن با گرانیتوییدهای نوع I قابل مقایسه است. از نظر جایگاه زمین‌ساختی در رده گرانیتوییدهای کوه‌زایی و در گروه VAG قرار می‌گیرد.

**کلید واژه‌ها:** ایران، گرانیتویید، نهبندان، کلسیمی- قلیایی، متاآلومین- پرآلومین، VAG

### Abstract

Bibi Maryam Granitoid body with 5 km<sup>2</sup> exposure area is located in the east Iranian ophiolite mélange belt in Sistan quartzdiorite and granodiorite. The main mafic minerals are hornblende -suture zone. This intrusive body consists of tonalite and biotite in quartzdiorite-tonalite. Existence of microdioritic enclave in tonalite and its absence in granodiorites is one of the main characteristics of the body. Perthitic and granophytic textures in granodiorites represent low water vapor pressure and relatively fast crystallization, respectively.

Trace element Geochemical study of rock samples shows that the body is calc-alkaline and metaluminous to peraluminous. patterns in spider diagrams represent a trough for Nb and enrichment for K, Rb, Ba and Th that indicate contamination by crustal materials. Although Bibi Maryam intrusive body cuts the ultramafic rocks, it lacks petrographic and geochemical characteristics of oceanic plagiogranites. The geochemistry of the body is comparable with I-type granitoids and based on tectonic setting it can be classified as orogenic and VAG type.

**Keywords:** Iran, Granitoid, Nehbandan, Calc-alkaline, Metaluminous-Peraluminous, VAG



## ۱- مقدمه

اصلی توده گرانیتوییدی بی بی مریم را تونالیت-کوارتزدیوریت تشکیل داده و زبانه‌های گرانودیوریت نیز وجود دارد. مرز تونالیت-کوارتزدیوریت با زبانه‌های گرانودیوریتی واضح بوده و در بعضی جاها دایکهای گرانودیوریتی، بخش تونالیتی را قطع کرده‌اند. بر این اساس می‌توان ادعا کرد که سنگهای توده گرانیتوییدی بی بی مریم در دو مرحله جایگیر شده‌اند، به طوری که در مرحله اول تونالیت-کوارتزدیوریت و در مرحله دوم گرانودیوریت تشکیل شده است. در متن سنگهای مرحله اول آنکلاوهای ریزدانه به رنگ سبز تیره با ترکیب دیوریتی وجود دارد، در صورتی که سنگهای مرحله دوم فاقد آنکلاو است.

## ۲- سنگ نگاری و نامگذاری

ویژگیهای سنگنگاری سنگهای نفوذی بی بی مریم به ترتیب جایگیری به شرح زیر است:

**تونالیت-کوارتزدیوریت:** بخش اصلی توده نفوذی را تونالیت تشکیل داده که در نمونه دستی، رنگ خاکستری روشن تا مایل به سبز و بافت تمام بلورین دارد. ویژگی مهم این سنگ، بافت درشت بلور آن است. در برخی نمونه‌ها با کاهش میزان کوارتر، تغییر ترکیب پلازیوکلاز و افزایش کانیهای مافیک(بویزه هورنبلن)، ترکیب سنگ به کوارتزدیوریت متمایل شده است. تفکیک بخش‌های تونالیتی از کوارتزدیوریتی در صحرا به سادگی امکان‌پذیر نیست. شاید به همین دلیل است که این دو نام به‌وسیله عده زیادی از سنگ‌شناسان آذربین به صورت معادل به کار برده می‌شود. در این تحقیق، به دلیل این که براساس ترکیب کانی‌شناسی و شمارش کانیها، تعداد کمی از نمونه‌ها در محدوده کوارتزدیوریت واقع گردید، نام این سنگ نیز در کتاب تونالیت بیان شده و ویژگیهای بافتی-کانی‌شناسی آن ذکر شده است.

بافت تونالیت از نوع دانه‌ای با دانه‌های نامساوی(Inequigranular) بوده و به طور محلی بافت افیتیک نیز دیده می‌شود. اندازه میانگین بلورها ۲-۵ میلی‌متر است. در این سنگ، کوارتر، پلازیوکلاز(الیکوکلاز-آنذین) و بیوتیت به عنوان کانیهای اصلی بوده و آمفیبول(هورنبلن)، مسکوویت، آپاتیت، زیرکن و کانی کدر(مگنتیت) از اجزای فرعی سنگ به شمار می‌آیند. بلورهای ریز هورنبلن در ارتباط نزدیک با بیوتیت قرار دارد.

کوارتزدیوریت در نمونه دستی با رنگ خاکستری مایل به سبز و بلورهای ریزتر از تونالیت مشخص می‌شود. بافت آن از نوع دانه‌ای، گاهی پوی کیلیتیک و افیتیک است. اندازه بلورها تا ۳ میلی‌متر می‌رسد. کانیهای پلازیوکلاز(آنذین)، هورنبلن و کوارتر سازندگان اصلی بوده و بیوتیت، اسفن، زیرکن و کانی کدر(مگنتیت) کانیهای فرعی می‌باشند. آمفیبول در کوارتزدیوریتها به صورت بلورهای به نسبت درشت و نیمه شکل دار بوده و با

توده گرانیتوییدی بی بی مریم با وسعت حدود ۵ کیلومتر مربع در فاصله ۳۰ کیلومتری خاور شوف (۱۹۰ کیلومتری جنوب خاوری بیرجند) دارای موقعیت جغرافیایی  $31^{\circ}51' 52''$  طول خاوری و  $51^{\circ}30' 31''$  عرض جغرافیایی شمالی است (شکل ۱). وجود چندین توده گرانیتوییدی در طول نوار افیولیت ملاتر خاور ایران که توده مورد بحث یکی از آنهاست، پرسشهایی اساسی را پیرامون جایگاه و منشأ این گرانیتوییدها مطرح می‌کند. درمورد توده گرانیتوییدی بی بی مریم تاکنون تحقیق اساسی صورت نگرفته و اطلاعات درباره آن اندک است. در نقشه زمین‌شناسی ۱:۱۰۰۰۰۰ نهندان با عنوان توده بزرگ تونالیتی اسم بردۀ شده است. مهران و همکاران (۱۳۷۹) این توده را در قالب طرح پژوهشی مورد مطالعه قرار داده‌اند. ایشان سنگهای این توده را کلسیمی-قلایایی با ترکیب گرانودیوریتی با منشأ رسوی (تیپ S) و از نظر جایگاه زمین ساختی در رده گرانیتوییدهای پس از کوهزادی (POG) معرفی کرده‌اند. در این پژوهش سعی گردیده تا با استفاده از نتایج مطالعات صحرایی، سنگنگاری و ژئوشیمی، منشأ و محیط زمین ساختی توده گرانیتوییدی بی بی مریم بررسی شود.

## ۳- زمین‌شناسی عمومی

توده گرانیتوییدی بی بی مریم با روند کلی شمال باخته-جنوب خاور در حاشیه باخته گسل نه خاوری (East Neh fault) واقع شده است. توده مذکور درون نوار افیولیت ملاتر خاور ایران و در پهنه ساختاری سیستان قرار دارد. ایالت ساختاری سیستان در اثر برخورد بلوک لوت و بلوک افغان و در نتیجه بسته شدن باریکه اقینوسی سیستان در کرتاسه پسین تکوین یافته است(Tirrul et al., 1983). واحدهای سنگی درونگیر توده گرانیتوییدی مورد مطالعه بلورهای بزرگی از پریدوتیت، الیوین گابرو، گابروی دانه‌درشت (به مقدار کم)، بازالت و دیابازهای دگرسان شده است که در بیشتر نقاط توسط توده گرانیتوییدی قطع شده‌اند. سن افیولیت ملاتر منطقه، کرتاسه پسین بوده(Tirrul et al., 1983) و توده گرانیتوییدی نیز در نقشه زمین‌شناسی ۱:۱۰۰۰۰۰ نهندان به عنوان یکی از واحدهای مجموعه افیولیتی معرفی شده است. شواهد صحرایی بخصوص در حاشیه توده حاکی از آن است که زبانه‌های گرانیتوییدی، سنگهای اولترامافیک را قطع کرده‌اند، بنابراین سن توده گرانیتوییدی پس از کرتاسه پسین است. در مجاورت بلافل توode گرانیتوییدی به دلیل فشار ناشی از نفوذ حجم زیادی از مagma، سنگهای اولترامافیک میزان دارای دگرسانی شده و به علاوه تحت تأثیر نفوذ سیالات مagma، متحمل دگرسانی شدید شده‌اند که آثار آن به صورت تشکیل سرپانتین و فراوانی اکسیدهای آهن مشاهده می‌شود. بخش

کانیها و استفاده از ترکیب شیمیابی انجام شده است. بر پایه نتایج سنگنگاری و مodal، سنگهای مورد مطالعه تونالیت، گرانودیوریت و به مقدار کم کوارتزدیوریت و مونزوگرانیت است. برای نامگذاری شیمیابی، از نمودار کم کوارتزدیوریت Middlemost (1985) براساس درصد وزنی اکسیدهای قلیایی و سیلیس (شکل ۲) و نمودار چند کاتیونی (1983) Debon & Le Fort (شکل ۳) استفاده شد. محدوده ترکیب شیمیابی این سنگها در نمودار Middlemost (1985)، تونالیت و گرانودیوریت تا گرانیت و در نمودار Debon & Le Fort (1983)، تونالیت و گرانودیوریت است.

#### ۴- ژئوشیمی توده گرانیت‌وییدی بی‌بی مریم

برای بررسی ژئوشیمیابی سنگهای مورد مطالعه، از ۳۶ نمونه به روش XRF توسط دستگاه مدل Philips PW1480 در شرکت کانساران بینالود تجزیه عناصر اصلی و فرعی انجام شد. برای اندازه‌گیری عناصری که با روش XRF امکان اندازه‌گیری آنها وجود نداشت (بويژهREE)، تعداد ۷ نمونه در مرکز تحقیقات و تولید سوخت هسته‌ای اصفهان به روش NAA تجزیه شد. جدول شماره ۱ نتایج تجزیه شیمیابی نمونه‌های توده گرانیت‌وییدی بی‌بی مریم را نشان می‌دهد.

برای بررسی ماهیت ماقمای تشکیل دهنده سنگهای مورد مطالعه از نمودارهای (1971) Irvine and Baragar استفاده گردید. تمام سنگهای نفوذی بی‌بی مریم در نمودار  $\text{Na}_2\text{O}+\text{K}_2\text{O}$  در برابر  $\text{SiO}_2$  در محدوده نیمه‌قلیایی (شکل ۴) و در نمودار AFM در محدوده کلسیمی - قلیایی واقع شده‌اند (شکل ۵).

برپایه نمودار تغییرات  $\text{Na}_2\text{O}+\text{K}_2\text{O}$  در برابر  $\text{SiO}_2$ ، Peacock (1931)، تمام نمونه‌ها بجز آنکلاو میکرو‌دیوریتی در محدوده کلسیک قراردارند (شکل ۶). در نمودار شاخص آلومین  $\text{Al}/(\text{CNK})$  در برابر  $\text{A}/\text{NK}$  است، تونالیتها متألومین تا پرآلومین و گرانودیوریتها پرآلومین هستند (شکل ۷). برای بررسی ارتباط زیشی بین سنگهای مورد مطالعه، از نمودارهای تغییرات درصد وزنی عناصر اصلی در برابر سیلیس (1909) Harker استفاده شد. با افزایش مقدار سیلیس، مقدار در صورتی که  $\text{Na}_2\text{O}+\text{K}_2\text{O}$  افزایش نشان می‌دهد (شکل ۸). وجود روندهای نزدیک به خطی در نمودارها بیانگر توالی ارتباطی نمونه‌ها به یکدیگر بوده و از ویژگیهای گرانیتهای تیپ I است (Pitcher, 1997). پراکنده‌گی نمونه‌ها در برخی نمودارها، با احتمال زیاد ناشی از آتشتنگی در ماقمای تشکیل دهنده توده نفوذی بی‌بی مریم است.

بیوتیت هم‌رشدی نشان می‌دهد. بیوتیتها موجود در کوارتزدیوریت از دو نسل است: بیوتیتها اولیه که به کلریت و اسفن تبدیل شده و بیوتیتها ثانویه که حاصل دگرسانی پتاسیک هورنبلند بوده و شکل نامنظم دارد. برخی بلورهای پلازیوکلاز موجود در تونالیت-کوارتزدیوریت دارای منطقه‌بندی بوده و در مرکز بلور دگرسانی شدیدتر وجود دارد که بیانگر شرایط عدم تعادلی و دگرسانی دمای بالا در هنگام تشکیل بلور است. کانیهای دگرسانی این سنگها شامل سریسیت، کلریت، اپیدوت و کلینوزویسیت-زیوسیت هستند.

در متن سنگهای تونالیتی، آنکلاوهای ریزدانه تیره‌ای وجود دارد. بافت آنها از نوع ریزدانه و گاهی افیتیک است. پلازیوکلاز، بیوتیت، آمفیبول و به مقدار بسیار کم کوارتز، کانیهای تشکیل دهنده آنکلاوهای هستند. کانی کدر به عنوان کانی فرعی محسوب شده و مقدار آن قابل توجه است. از کانیهای حاصل دگرسانی می‌توان به سریسیت، کلریت، اپیدوت و کلینوزویسیت اشاره کرد. ترکیب سنگی آنکلاوهای در محدوده دیوریت قرار دارد.

**گرانودیوریت:** در بخش شمال باختری تا باختر توده اصلی به صورت زبانه‌ها و دایکهای وجود داشته که از تونالیت-کوارتز دیوریت ریزدانه‌تر است. سنگهای آن بافت تمام بلورین و رنگ سفید تا خاکستری روش دارند. بافت آنها دانه‌ای متوسط دانه بوده و اندازه بلورها بین حدود ۱ تا ۳ میلی‌متر متغیر است. در برخی نمونه‌ها هم‌رشدی کوارتز با پلازیوکلاز به صورت بافت میرمیکیتی دیده می‌شود. بافت‌های گرافیک و گرانوفیری نیز وجود دارد که بیانگر سرد شدن به نسبت سریع و رشد همزمان کوارتز و فلدسپار قلیایی است.

کوارتز، پلازیوکلازسدیم، میکروکلین (اغلب پرتیتی)، ارتوکلاز و مسکوویت کانیهای اصلی بوده، گارنت بلورین (اولیه)، آپاتیت و کانی کدر (به رنگ سرخ) اجزای فرعی سنگ به شمار می‌آیند. کانیهای حاصل دگرسانی شامل سریسیت، کانیهای رسی و کلریت هستند. گرانودیوریتها فاقد آنکلاو میکرو‌دیوریتی بوده ولی در مقاطع نازک برخی نمونه‌ها، قطعات کوچک سپریانتنی شده از سنگهای اولترامافیک میزان وجود دارد.

قرار گرفتن توده مورد مطالعه در پهنه گسلی نهیندان که دارای روند کلی شمالی-جنوبی و سازوکار فشاری-برشی راستگرد (خطیب، ۱۳۷۷) است (شکل ۱)، سبب ایجاد دگرشکلی و جهت‌گیری در میکاهای سنگهای گرانیت‌وییدی بويژه در حاشیه توده شده است. خمیدگی و انحنای شدید سطوح رخ میکاه، لغزش سطوح دوقلوی در پلازیوکلازها و ظهور دوقلوهای دگرشکلی و نوارهای شکنجی (Kink band) (بیانگر دگرشکلی همزمان با تشکیل توده تونالیتی و جایگزینی آن درون پهنه برشی فعل سامانه گسلی نهیندان است.

نامگذاری سنگهای نفوذی بی‌بی مریم بر پایه ترکیب کانی‌شناسی، شمارش



## ۵- بحث

### ۱-۵) بررسی تیپ توده گرانیتوییدی بی بی مریم

همان گونه که در بخش زمین شناسی عمومی اشاره شد، سنگهای درونگیر توده نفوذی بی بی مریم از نوع سنگهای اولترامافیک است که توسط توده گرانیتوییدی قطع شده‌اند. این وضعیت بیانگر نابرجا بودن توده گرانیتوییدی و شباهت آن با گرانیتهای نوع I است. علاوه بر این، ویژگیهای سنگنگاری مانند وجود آنکلاوهای میکرو دیوریتی، حضور هورنبلد و بیوتیت، اسفن، مگنتیت و میانوارهای آپاتیت درون بلورهای بیوتیت در تونالیتها و نبود سیلیکات‌های آلومینیم و کردبریت نیز این سنگها را با گرانیتهای تیپ I قابل مقایسه کرده است. برای نتیجه گیری در این زمینه، از ویژگیهای شیمیایی نیز استفاده شده است. گرانیتهای نوع S نسبت به نوع I، پتانسیم بیشتری دارند (Chappell & White, 1992) در صورتی که محتوای سدیم گرانیتهای نوع I و S به ترتیب شامل مقادیر به نسبت بالا و پایین است (Chappell & White, 2001). بنابراین نمودار درصد وزنی  $O_{2}K$  در برابر  $O_{2Al}$ ، تمایز خوبی بین دو نوع گرانیت I و S ایجاد می‌کند. در این نمودار، تمام سنگهای نفوذی بی بی مریم در محدوده تیپ I قرار گرفته‌اند (شکل ۹).

از آنجا که گرانیتهای نوع S فقیر از کلسیم و نوع I غنی از کلسیم است، از نمودار ACF برای تمایز شیمیایی بین تیپهای I و S استفاده می‌شود (Takahashi et al., 1980). برایه این نمودار، اغلب سنگهای نفوذی بی بی مریم بجز تعدادی از گرانو دیوریتها در قلمرو گرانیتهای نوع I واقع شده‌اند (شکل ۱۰).

به دلیل قرار گرفتن توده نفوذی بی بی مریم درون افیولیت ملاتر خاور ایران، این مسئله مطرح است که سنگهای این توده می‌توانند از گونه گرانیتوییدهای تیپ M (معروف به پلازیو گرانیت) باشد. برای تبیین این موضوع، ویژگیهای سنگنگاری و زئوپیسمیابی سنگهای نفوذی بی بی مریم با گرانیتوییدهای تیپ M (بویژه پلازیو گرانیتهای اقیانوسی) مقایسه شد که نتایج آن عبارتند از:

- پلازیو گرانیتها سنگهای دانه ریز تا دانه متوسط هستند که به صورت رگه و دایک تشکیل می‌شوند، در صورتی که بخش اعظم توده نفوذی بی بی مریم را تونالیتهای درشت بلور تشکیل داده است.

- پلازیو گرانیتهای اقیانوسی ترکیب تونالیت دارند (Maniar and Piccoli, 1989)، در حالی که سنگهای نفوذی بی بی مریم دارای ترکیب تونالیت، گرانو دیوریت و به مقدار کم مونزو گرانیت هستند.
- کانی مافیک در OP، هورنبلد ( $\pm$  پیروکسن) است (Maniar and Piccoli, 1989)، در صورتی که در سنگهای نفوذی بی بی مریم شامل هورنبلد و بیوتیت فراوان (در تونالیتها) است.
- OP به وسیله نبود فلدسپار قلایی و پر تیت مشخص می‌شود

(Maniar and Piccoli, 1989)، در حالی که در توده نفوذی بی بی مریم گرانو دیوریتها حاوی میکرو کلین پر تیتی است.

۵- OP دارای  $K_{2O}$  پایین (کمتر از یک درصد وزنی) است (Maniar and Piccoli, 1989). میانگین درصد وزنی  $K_{2O}$  در ۶ نمونه از پلازیو گرانیتهای افیولیت عمان و ترودوس (قرس)، (Winter, 2001)، در صورتی که تمام تونالیتهای بی بی مریم بجز ۲ نمونه، بیش از یک درصد  $K_{2O}$  با میانگین  $1/4$  درصد وزنی دارد.

۶- سری مأگمایی پلازیو گرانیتهای اقیانوسی، تولیتی است (Barbarin, 1999) و پلازیو گرانیتها محصول تفرقی بازالت‌های پشته میان اقیانوسی هستند (Pitcher, 1997). این در حالی است که تمام سنگهای نفوذی بی بی مریم، ویژگی کلیسی - قلایی دارند (شکل ۵). به اعتقاد Barbarin (1999)، گرانیتوییدهای کلیسی - قلایی دارای منشأ مخلوط (در برگیرنده اجزای پوسته‌ای و مواد مشتق شده از گوشته) هستند.

۷- بر پایه رده‌بندی Clarke (1992)، گرانیتوییدهای تیپ M دارای  $A/CNK < 1$  است. OP از نظر شاخص آلومین، بر پایه تقسیم‌بندی  $Al_{2O}/(Al_{2O} + Na_{2O})$ ، پرآلومین - متاآلومین و در رده‌بندی Barbarin (1999)، متاآلومین است. در توده نفوذی بی بی مریم، تونالیتها متاآلومین تا پرآلومین و گرانو دیوریتها پرآلومین هستند (شکل ۷) که با در نظر گرفتن رده‌بندی‌های مذکور، انطباق چندانی با پلازیو گرانیتهای اقیانوسی ندارند.

۸- در رده‌بندی Maniar and Piccoli (1989) بر پایه شاخص  $Peacock$  (1931) OP در محدوده کلیسی قرار دارد. تمام سنگهای نفوذی بی بی مریم نیز دارای همین ویژگی هستند (شکل ۶) که از این لحاظ به OP شبیند. با توجه به این که در این رده‌بندی محدوده‌ها در راستای افزایش مقدار سیلیس معین شده‌اند و ممکن است سنگهای مربوط به چند محیط زمین ساختی در یک محدوده قرار گیرند، لذا شاخص تعیین کننده‌ای نیست.

۹- نسبت  $Fe^{3+}/(Fe^{3+} + Fe^{2+})$  برای گرانیتوییدهای تیپ M بیشتر از سایر گرانیتوییدهای می‌باشد (Raymond, 2002). برایه داده‌های Whalen et al. (1987) نسبت مذکور برای گرانیتوییدهای تیپ M،  $0.43/0.41$  محاسبه شد. میانگین شاخص اکسایش سنگهای نفوذی بی بی مریم است که قابل مقایسه با گرانیتوییدهای تیپ M است.

۱۰- بر پایه نمودار  $CaO/(CaO + Na_{2O})$  در برابر  $Zr + Nb + Ce + Y$  (Whalen et al., 1987) که تمایز خوبی بین گرانیتهای تیپ A و گرانیتهای کوهزایی است، سنگهای نفوذی بی بی مریم در محدوده گرانیتهای کوهزایی (OGT) واقع شده‌اند (شکل ۱۱). از آنجا که بر پایه رده‌بندی Maniar and Piccoli (1989) در رده

مریم خارج از محدوده OP قرار گرفته‌اند (شکل ۱۳A). نمونه‌های مورد مطالعه در نمودار  $(\text{FeO}^t + \text{MgO}) / \text{SiO}_2$  در رده  $\text{FeO}^t$  و  $\text{MgO}$  در نمودار گرانیتوییدهای کوه‌زایی واقع شده‌اند (شکل ۱۳B).

Pearce et al. (1984) براساس جایگاه نفوذ سنگ‌های گرانیتوییدی، آنها را به چهار گروه شامل ORG، VAG، COLG و WPG رده‌بندی و برای تمایز گروه‌های مختلف از عناصر کمیاب استفاده کردند. در نمودارهای Nb در برابر Y و Rb در برابر  $\text{Y} + \text{Nb}$  که تمایز مناسبی بین گرانیتوییدهای مختلف ایجاد می‌کنند، سنگ‌های نفوذی بی‌بی مریم به ترتیب در محدوده‌های VAG + Syn-COLG (شکل ۱۴A) و VAG (شکل ۱۴B) قرار گرفته‌اند.

## ۶- نتیجه‌گیری

توده گرانیتوییدی بی‌بی مریم از تونالیت-کوارتزدیوریت و گرانودیوریت تشکیل شده است. بررسیهای صحرایی، سنگ‌نگاری و ژئوشیمیایی نشان می‌دهد که بیشتر ویژگیهای نمونه‌های مورد مطالعه با گرانیتوییدهای تیپ I قابل مقایسه است. شاخص اکسایش بالا و شباهت مقدار برحی عناصر کمیاب در نمودار عنکبوتی سنگ‌های نفوذی بی‌بی مریم با الگوی گرانیتوییدهای تیپ M، می‌تواند نقش گوشه در تولید ماگمای اولیه این سنگها را مشخص کند. ماهیت کلسمی - قلایایی این سنگها بیانگر نقش گوشه و پوسته در تکوین آنهاست.

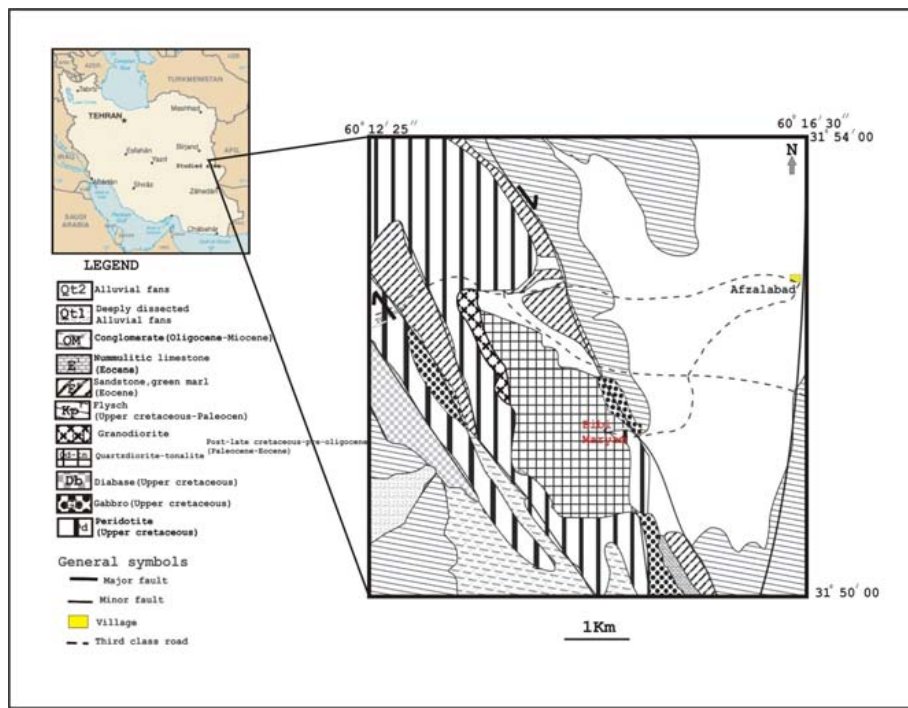
قرار گرفتن توده گرانیتوییدی مذکور در پهنه گسلی فشاری-برشی راستگرد نهیندان (خطیب، ۱۳۷۷)، بیانگر نقش اساسی فعالیت گسل در راهیابی ماگما به ترازهای بالاتر می‌باشد. در نتیجه تفریق، آلدگی و انجماد ماگما به هنگام توقف، کوارتزدیوریت-تونالیت تشکیل شده است. وجود ساختارهایی مانند خمیدگی سطوح رخ میکاها، لغزش سطوح دوقلویی در پلازیوکلازها و نوارهای شکنجی بیانگر دگرشکلی همزمان با تشکیل توده تونالیتی و جایگیری آن درون پهنه برشی فعال سامانه گسلی نهیندان می‌باشد. تزریق دوباره ماگما و آغشتنگی شدید آن با مواد پوسته‌ای سبب تشکیل گرانودیوریت شده است. با عنایت به بررسیهای انجام شده، توده گرانیتوییدی بی‌بی مریم در رده گرانیتوییدهای کوه‌زایی و در گروه VAG قرار می‌گیرد.

گرانیتوییدهای ناکوهزایی قرار دارد، بنابراین سنگ‌های مورد مطالعه قابل مقایسه با پلازیوگرانیتهای اقیانوسی نیستند.

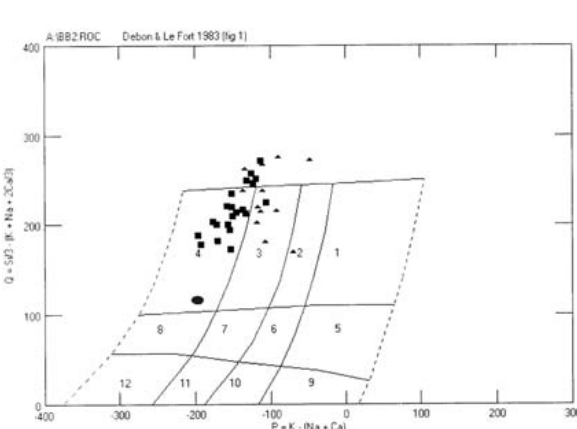
۱۱- با بهره‌گیری از نمودارهای چند عنصری (عنکبوتی)، مقدار میانگین عناصر کمیاب سنگ‌های نفوذی بی‌بی مریم با نمودارهای Winter (2001) برای گرانیتوییدهای تیپ I، تیپ M مناطق فروزانش و پلازیوگرانیتهای افیولیت عمان و ترودوس مقایسه شد. بر پایه این مقایسه، مشخص گردید که در بین سه گروه گرانیتویید مذکور، الگوی سنگ‌های نفوذی بی‌بی مریم در درجه اول با الگوی گرانیتوییدهای تیپ I شباهت دارد؛ با این تفاوت که مقدار عناصر پایین‌تر است (شکل ۱۲-A). مقایسه نمونه‌های مورد مطالعه با الگوی گرانیتوییدهای تیپ M مناطق فروزانش بیانگر این است که برحی عناصر فراوانی مشابهی دارند (شکل ۱۲-B). همان‌گونه که در شکل C-۱۲ مشاهده می‌شود، نمودار عنکبوتی سنگ‌های گرانیتوییدی بی‌بی مریم با الگوی پلازیوگرانیتهای معروف افیولیت عمان و ترودوس شباهت چندانی ندارد. ویژگی مهم نمودار عنکبوتی سنگ‌های نفوذی بی‌بی مریم این است که عناصر ناسازگاری با پتانسیل یونی پایین و متخرک نظیر K و Rb و بویژه Sr و Ba غنی شدگی نشان می‌دهند؛ در صورتی که عناصر با پتانسیل یونی بالا و غیر متخرک (Nb-Yb) فراوانی کمی دارند. غنی شدگی عناصر ناسازگار متخرک و Th توسط سیالات منطقه فروزانش ایجاد می‌شود که به همراه افت Nb مشاهده شده در نمودار، از ویژگیهای ماگمایی وابسته به فروزانش است (Wilson, 1989). به اعتقاد (1993) Rollinson، بی‌هنجاری منفی Nb و تمرکز بالای عناصر متخرک، می‌تواند به عنوان شاخص آلدگی پوسته‌ای ماگمایی اولیه مورد استفاده قرار گیرد.

**۷-۵) بررسی جایگاه زمین ساختی توده گرانیتوییدی بی‌بی مریم**

Maniar and Piccoli (1989) براساس محیط زمین ساختی، سنگ‌های گرانیتوییدی را به هفت گروه تقسیم کردند که از میان آنها چهار گروه CAG، IAG، POG و CCG در رده گرانیتوییدهای کوه‌زایی و سه گروه RRG، CEUG و OP در رده گرانیتوییدهای ناکوهزایی قرار می‌گیرند. آنها از عناصر اصلی برای تفکیک گروههای مختلف گرانیتوییدها استفاده نمودند. براساس نمودار  $\text{SiO}_2$  در برابر  $\text{K}_2\text{O}$  که گروه OP را به وضوح از دیگر گروهها متمایز می‌کند، نمونه‌های توده گرانیتوییدی بی‌بی

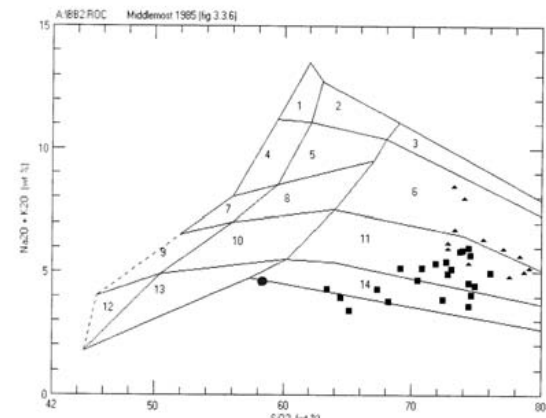


شکل ۱- نقشه زمین‌شناسی منطقه مورد مطالعه (اقتباس از نقشه زمین‌شناسی ۱:۱۰۰۰۰ نهندان با اصلاحات و رسم مجدد)



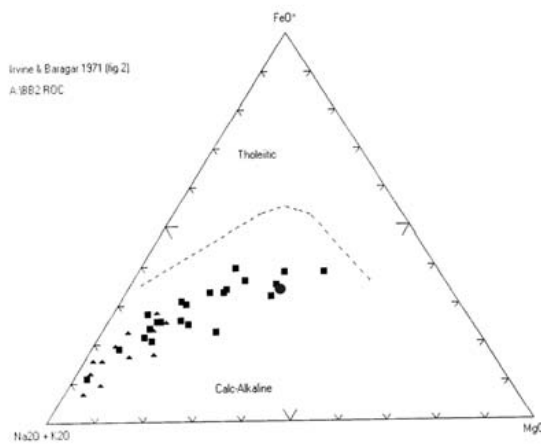
شکل ۳- نامگذاری سنگهای نفوذی بی‌بی مریم با استفاده از نمودار Debon & LeFort (1983) (علائم شیوه شکل ۲).

در این نمودار محدوده‌ها عبارتند از: ۱- گرانیت ۲- آداملیت ۳- گوانودیوریت ۴- تونالیت ۵- کوارتز سینیت ۶- کوارتزمونزونیت ۷- کوارتزمونزودیوریت ۸- کوارتزدیوریت ۹- سینیت ۱۰- مونزونیت ۱۱- مونزو-گابرو ۱۲- گابرو

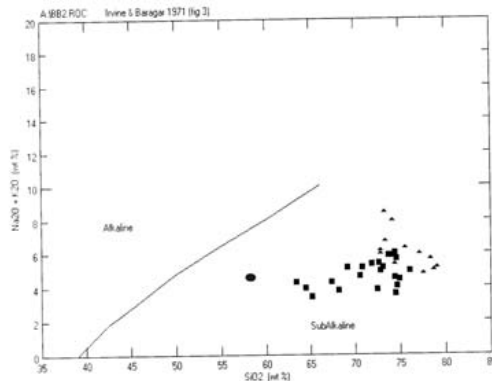


شکل ۲- نامگذاری سنگهای نفوذی بی‌بی مریم با بهره گیری از نمودار Middlemost (1985)

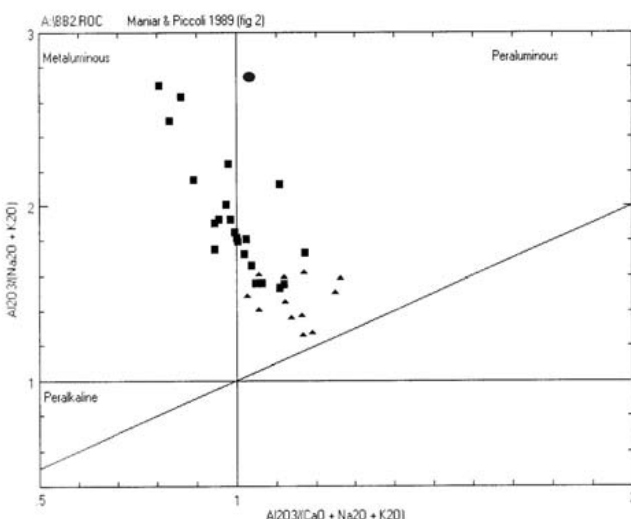
- (نشانه ها: ■ تونالیتها ▲ گرانودیوریتها ● آنکلاو)  
در این نمودار محدوده ها عبارتند از:
- ۱- فلدسپار قلیایی سینیت
  - ۲- فلدسپار قلیایی کوارتز سینیت
  - ۳- فلدسپار
  - ۴- قلیایی گرانیت
  - ۵- سینیت
  - ۶- کوارتز سینیت
  - ۷- گرانیت
  - ۸- مونزونیت
  - ۹- کوارتز مونزونیت
  - ۱۰- مونزو-دیوریت
  - ۱۱- گرانودیوریت
  - ۱۲- دیوریت و گابرو
  - ۱۳- کوارتزدیوریت
  - ۱۴- تونالیت



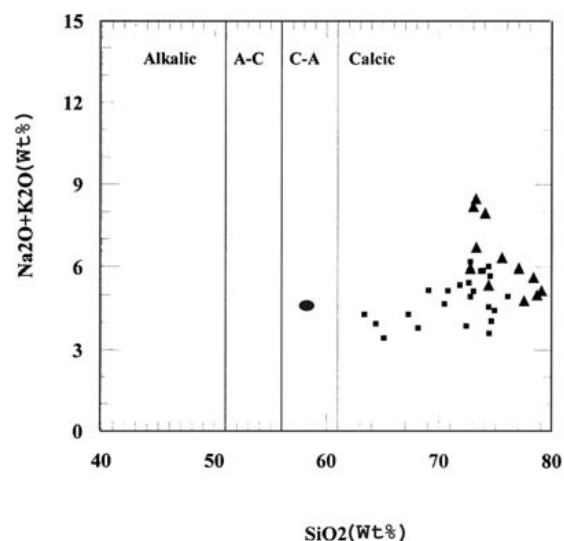
شکل ۵- نمودار مثلثی AFM برای تفکیک محدوده‌های توئیتی کلیسمی- قلیابی (Irvin & Baragar, 1971) و محل قرارگیری نمونه‌های توده گرانیتوییدی بی‌بی مریم (علاوه شیوه شکل ۲).



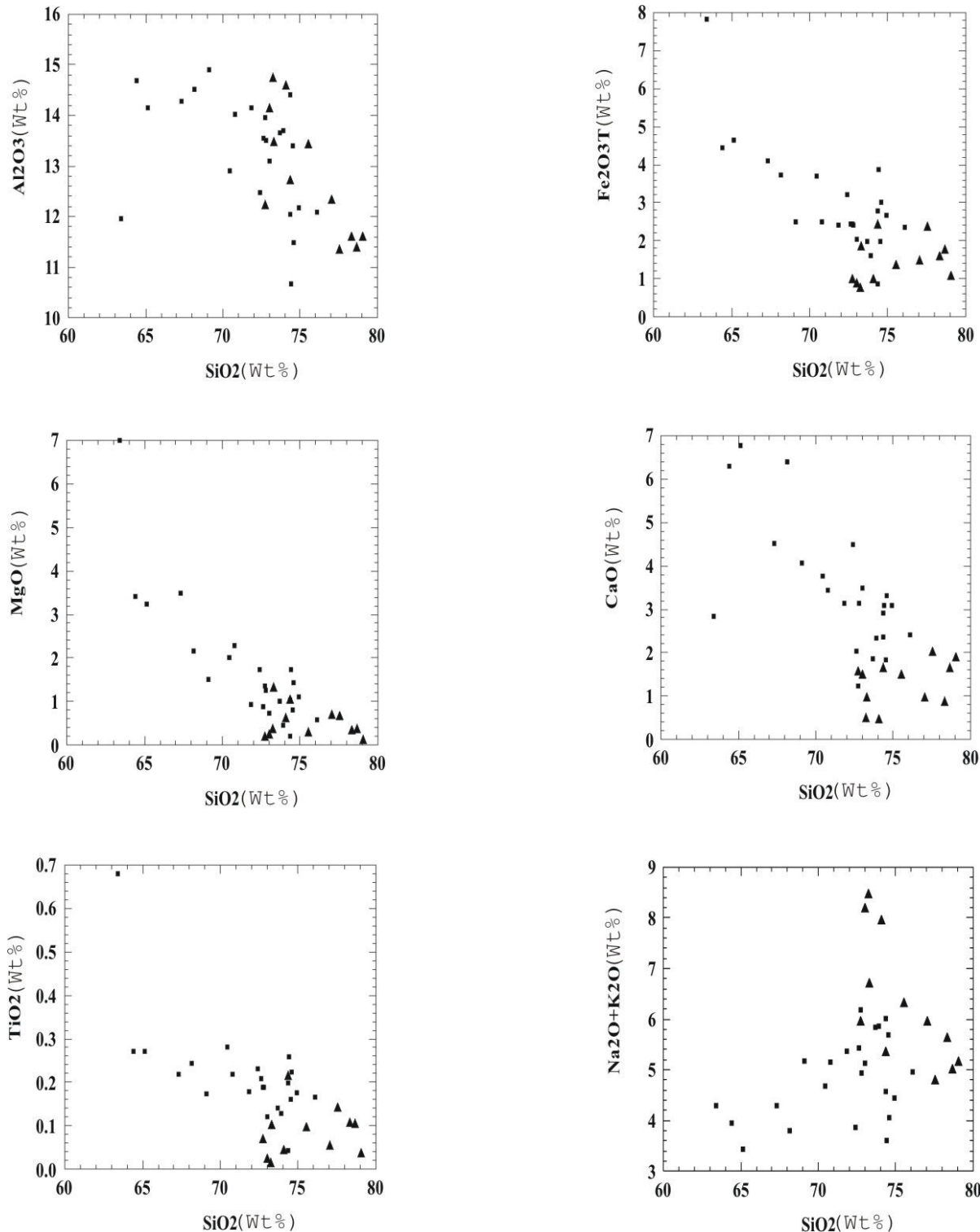
شکل ۴- نمودار تغییرات  $\text{Na}_2\text{O} + \text{K}_2\text{O}$  در برابر  $\text{SiO}_2$  که در آن محدوده‌های قلیابی و نیمه قلیابی از یکدیگر جدا شده‌اند (Irvine and Baragar, 1971) و موقعیت نمونه‌های توده گرانیتوییدی بی‌بی مریم (علاوه شیوه شکل ۲).



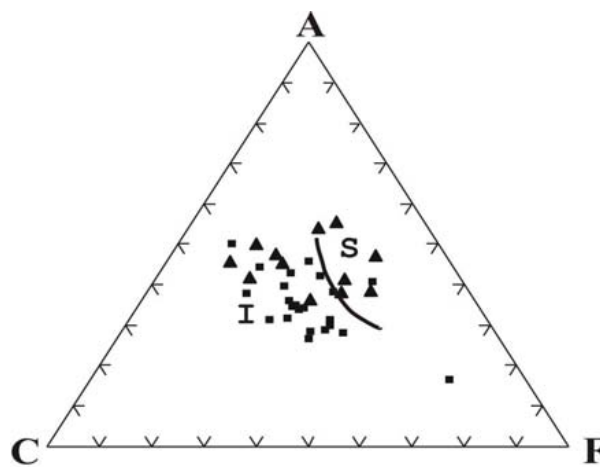
شکل ۷- بررسی شاخص اشباع از آلومینیم در سنگ‌های گرانیتوییدی بی‌بی مریم با استفاده از نمودار Maniar and Piccoli (1989) (علاوه شیوه شکل ۲).



شکل ۶- نمودار تغییرات  $\text{Na}_2\text{O} + \text{K}_2\text{O}$  در برابر  $\text{SiO}_2$  (Peacock, 1931) و موقعیت نمونه‌های توده گرانیتوییدی بی‌بی مریم (علاوه شیوه شکل ۲).

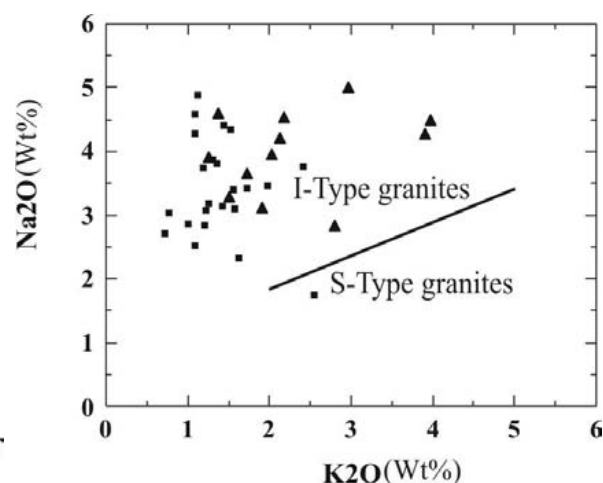


شکل ۸- نمودارهای تغییرات عناصر اصلی در برابر سیلیس برای سنگهای نفوذی بی‌بی مریم (نشانه‌ها: ■ تونالیتها ▲ گرانودیوریتها)

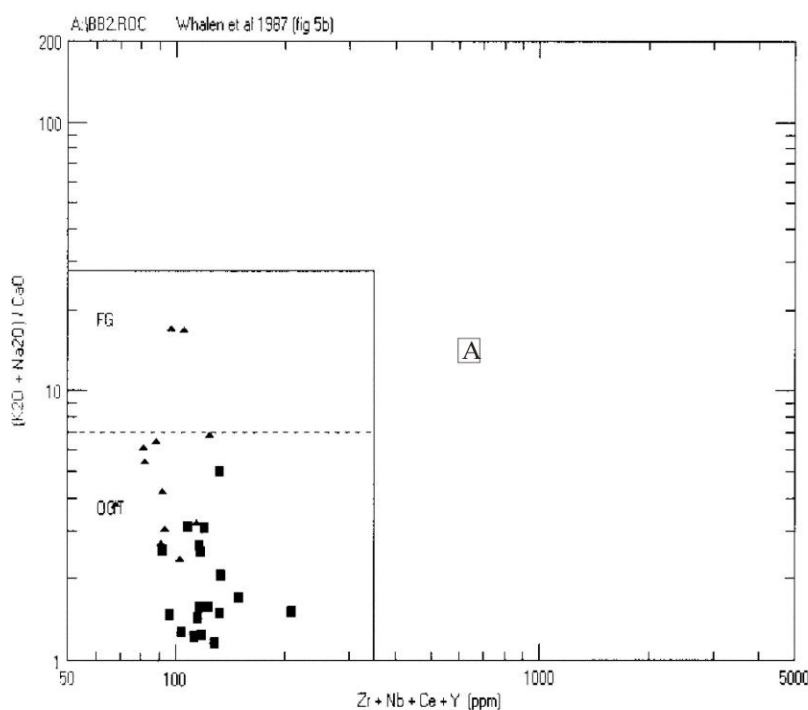


شکل ۱۰- نمودار ACF (A=Al<sub>2</sub>O<sub>3</sub>-Na<sub>2</sub>O-K<sub>2</sub>O; C=CaO; F=FeO+MgO) برای تمایز گرانیتهای نوع I و S (Takahashi et al., 1980).

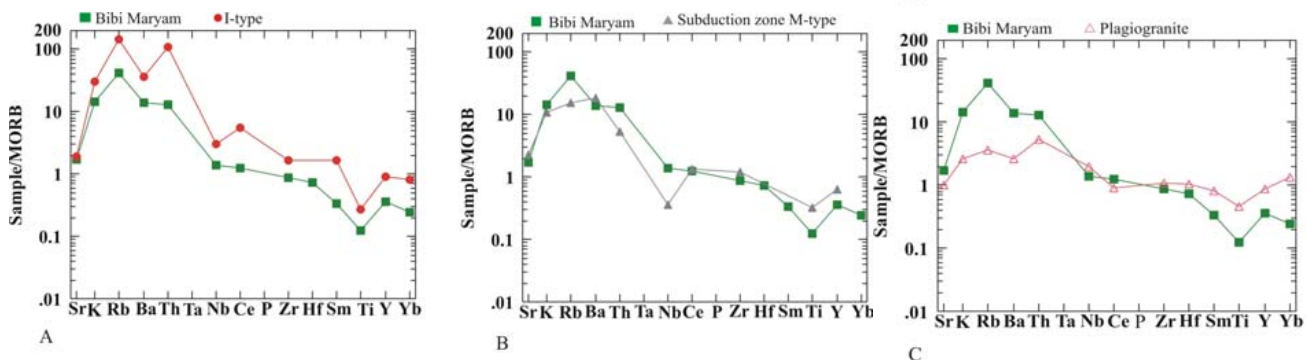
برای تمایز گرانیتوئیدهای نوع I و S (Takahashi et al., 1980) و موقعیت نمونه‌های توده گرانیتوئیدی بی‌بی‌مریم (علاوه شبیه شکل ۸).



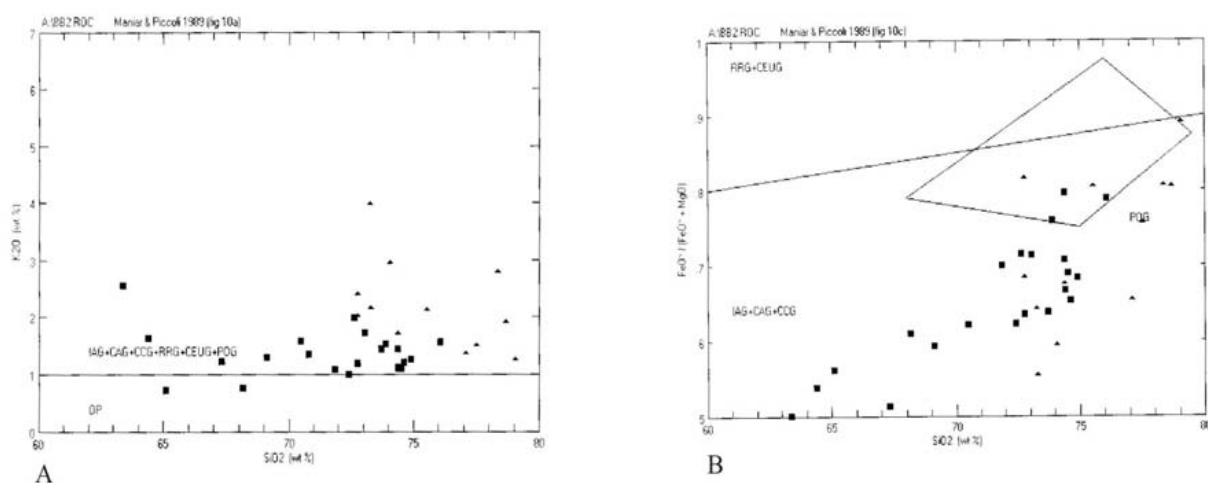
شکل ۹- نمودار Na<sub>2</sub>O در برابر K<sub>2</sub>O برای تمایز گرانیتهای I و S (Chappell and White, 2001) و موقعیت نمونه‌های توده گرانیتوئیدی بی‌بی‌مریم (علاوه شبیه شکل ۸).



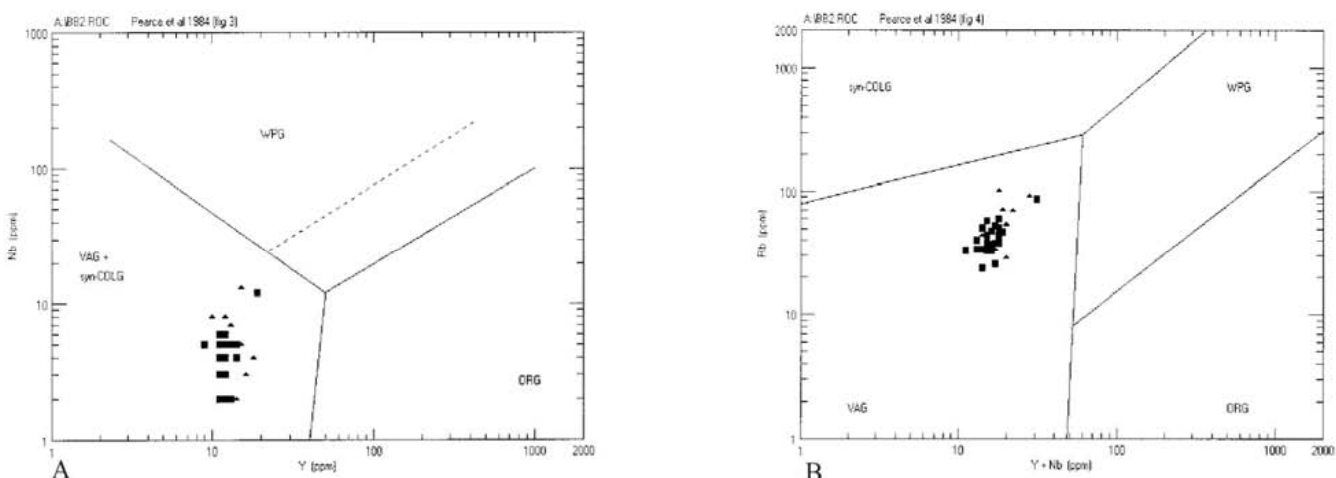
شکل ۱۱- نمودار تغییرات Y در برابر Zr+Nb+Ce+Y (K<sub>2</sub>O+Na<sub>2</sub>O)/CaO برای تفکیک گرانیتهای A (ناکوهزایی)، گرانیتهای تفریق یافته (FG) و گرانیتهای تفریق نشده تیپهای M، I و S (گرانیتهای کوهزایی یا OGT) و موقعیت سنگهای نفوذی بی‌بی‌مریم (علاوه شبیه شکل ۸).



شکل ۱۲- مقایسه مقدار متوسط عناصر کمیاب سنگهای نفوذی بی‌بی مریم با (A) گرانیتوییدهای تیپ I؛ (B) گرانیتوییدهای تیپ M مناطق فروراش و (C) پلازیوگرانیتهای افیولیت عمان و ترودوس؛ نمودارها از Winter(2001)، بهنجار سازی شده بر پایه MORB



شکل ۱۳- نمودارهای (A): تغیرات  $K_2O$  در برابر  $SiO_2$  و (B): تغیرات  $FeO^t / (FeO^t + MgO)$  در برابر  $SiO_2$  برای نفکیک محیط زمین ساختی گرانیتوییدها (Maniar and Piccoli, 1989) و موقعیت نمونه‌های توده گرانیتوییدی بی‌بی مریم (علاوه شیوه شکل ۸).



شکل ۱۴- نمودارهای (A): تغیرات Nb در برابر Y و (B): تغیرات Rb در برابر  $Y + Nb$  برای نفکیک محیط زمین ساختی گرانیتوییدها (Pearce et al., 1984) و موقعیت نمونه‌های توده گرانیتوییدی بی‌بی مریم (علاوه شیوه شکل ۸).

جدول ۱- نتایج تجزیه شیمیایی نمونه‌های توده گرانیت‌ویتدی بی‌بی مریم

sample	Bm-104 (t)	Bm-105 (t)	Bm-106 (t)	Bm-171 (gd)	Bm-173 (gd)	Bm-175 (gd)	Bm-177 (gd)	Bm-181 (gd)	Bm-184 (gd)	Bm-185 (t)	Bm-189 (t)	Bm-219 (t)	Bm-221 (t)	Bm-222 (t)	Bm-223 (t)	Bm-269 (t)	-Bm-270 (t)	Bm-272 (t)
SiO <sub>2</sub>	76.08	74.42	68.17	77.04	74.07	78.34	77.52	78.65	79.06	74.61	74.38	74.89	72.41	65.11	73.04	70.47	63.94	
Al <sub>2</sub> O <sub>3</sub>	12.08	10.67	14.52	12.34	14.61	11.62	11.35	11.41	11.61	14.49	12.04	12.18	12.47	14.14	13.09	12.91	11.95	
Fe <sub>2</sub> O <sub>3</sub> T	2.22	2.42	3.56	1.41	0.92	2.48	2.19	1.49	2.83	4.17	2.58	2.22	3.30	4.34	1.92	3.17	7.43	
CaO	2.40	3.10	6.39	0.98	0.47	0.87	2.03	1.66	1.92	3.31	6.30	2.01	3.10	4.49	6.76	3.50	3.77	2.83
Na <sub>2</sub> O	3.40	2.52	3.03	4.60	5.00	2.85	3.30	3.11	3.92	2.85	2.32	3.14	2.87	2.71	3.42	3.09	1.74	
MgO	0.57	1.73	2.15	0.71	0.62	0.35	0.69	0.39	0.12	1.44	3.41	1.03	1.12	1.74	3.25	0.74	2.02	6.99
K <sub>2</sub> O	1.56	1.09	0.77	1.37	2.96	2.80	1.51	1.91	1.25	1.20	1.63	1.43	1.25	1.00	0.72	1.72	1.58	
TiO <sub>2</sub>	0.166	0.258	0.243	0.056	0.045	0.109	0.144	0.106	0.037	0.223	0.272	0.199	0.175	0.231	0.270	0.120	0.280	0.680
MnO	0.071	0.064	0.086	0.022	0.040	0.051	0.064	0.072	0.013	0.049	0.080	0.075	0.061	0.056	0.096	0.036	0.094	0.229
P <sub>2</sub> O <sub>5</sub>	0.056	0.025	0.079	0.115	0.144	0.100	0.078	0.046	0.038	0.063	0.047	0.053	0.058	0.064	0.059	0.070	0.104	0.473
L <sub>2</sub> O <sub>3</sub>	1.23	1.48	0.69	0.91	0.73	0.78	0.90	0.64	0.78	0.98	1.78	1.19	1.20	1.07	1.68	1.40	1.94	1.75
Total	99.83	98.98	99.69	99.59	99.61	99.4	99.83	99.68	99.78	99.03	99.11	99.74	99.40	99.13	99.06	99.73	99.91	
Tr. el. (ppm)																		
Cl	15	36	12	2	30	7	150	4	14	75	28	10	17	32	16	10	37	17
S	10	7	8	15	9	12	10	8	5	11	12	9	8	7	7	6	16	
Rb	38	34	24	29	70	55	39	44	41	33	51	38	34	26	53	48	87	
Sr	239	229	323	44	44	54	174	182	254	249	291	204	240	282	288	319	188	
V	20	31	33	21	25	21	24	24	19	25	39	26	24	32	43	22	31	
W	1	1	1	3	1	1	1	1	1	3	5	1	1	1	1	1	1	
Y	11	11	9	12	18	15	11	12	11	13	13	12	10	11	12	12	19	
Zr	90	102	76	51	51	52	73	70	68	87	62	86	73	91	62	89	165	
Zn	48	49	44	24	35	25	41	35	21	43	43	40	37	46	43	30	85	
Mo	1	1	1	1	1	1	1	1	1	1	1	1	1	1	1	1	1	
Ba	150	139	68	243	453	352	229	242	124	149	128	190	83	95	82	142	137	248
Ce	26	13	11	10	24	16	13	9	8	10	22	28	17	12	10	13	11	
La	17	8	5	4	15	5	6	6	5	4	8	7	5	4	5	2	2	
Ga	21	19	16	23	24	15	24	18	20	16	14	13	22	25	19	14	24	
Co	2	11	7	2	1	2	2	4	5	8	3	1	8	13	1	8	22	
Cr	8	41	35	43	22	24	28	29	35	38	42	29	26	35	36	22	46	
Cu	1	1	1	1	40	1	1	1	1	1	203	1	2	2	1	1	113	
Nb	6	2	5	8	4	5	6	2	4	5	2	2	1	6	5	4	12	
Ni	7	43	13	11	33	5	43	2	12	27	79	2	17	27	26	30	63	
Pb	2	11	10	18	17	15	13	12	14	13	19	2	9	13	11	10	11	
U	1	1	3	2	1	5	6	1	2	2	2	2	3	6	1	1	1	
Th	1	1	4	2	2	2	2	4	5	2	2	2	5	4	4	2	2	
Ag	<2.3							3.88	<1.7	<2	<3.3				<1.9	<2.7		
As	<1.4							<1.2	<1.4	<1.5	<1.0				<1.9	<1.9		
Cs	2.93							1.76	2.84	5.01	15.47				7.39	4.38		
Eu	0.49							0.48	0.49	0.40	0.45				0.48	0.60		
Hf	2.61							1.75	1.86	2.50	2.14				1.56	2.28		
Ho	<0.65							0.88	<0.63	<0.68	<0.47				<0.88	<0.95		
Lu <sub>ppb</sub>	151							368	193	142	201				105	251		
Nd	7.9							7.3	7.5	7.1	6.4				<5.6	13.5		
Sb	0.28							0.14	0.20	0.26	0.21				0.58	0.85		
Sc	3.20							2.02	1.46	1.46	9.47				1.63	5.39		
Sm	0.97							1.38	1.21	0.99	1.35				0.78	1.97		
Sn	<135							<114	<102	<121	<193				<123	<152		
Ta	0.241							0.326	0.476	0.149	0.358				0.345	0.309		
Tb	0.269							0.449	0.380	0.318	0.604				0.223	0.359		
Tm	0.79							0.74	0.75	0.58	0.74				0.54	0.75		
Yb	0.69							2.15	1.03	0.76	0.90				0.59	1.34		

## ادامه جدول ۱

sample	Bm-276 (gd)	Bm-287 (gd)	Bm-289 (gd)	Bm-291 (t)	Bm-292 (t)	Bm-293 (gd)	Bm-294 (t)	Bm-295 (t)	Bm-296 (gd)	Bm-301 (t)	Bm-302 (t)	Bm-306 (t)	Bm-307 (gd)	Bm-308 (t)	Bm-309 (t)	Bm-310 (t)	Bm-311 (t)	Bm-315a (e)
SiO <sub>2</sub>	72.76	73.25	73.29	72.77	71.58	75.55	69.09	70.78	67.30	73.89	72.63	73.03	72.76	73.70	74.51	74.38	58.28	
Al <sub>2</sub> O <sub>3</sub>	12.24	14.75	13.49	13.51	14.16	13.44	14.91	14.03	14.27	12.74	13.69	13.54	14.16	13.96	13.66	14.40	14.40	18.77
Fe <sub>2</sub> O <sub>3</sub> T	0.94	0.74	1.76	2.28	1.30	2.36	2.34	2.29	2.29	1.52	2.24	2.04	1.84	1.86	1.84	2.36	6.20	
CaO	1.59	0.51	0.98	3.15	3.13	1.51	4.06	3.45	4.51	1.67	2.34	1.51	2.24	1.86	1.84	2.36	3.40	
Na <sub>2</sub> O	3.95	4.50	4.54	3.75	4.28	4.21	3.87	3.81	3.07	3.65	4.35	3.46	4.29	4.31	4.59	4.89		
K <sub>2</sub> O	2.20	3.98	1.34	1.19	1.08	1.23	1.35	1.22	1.72	1.52	1.46	1.36	1.25	1.31	1.30	1.30	1.16	
TiO <sub>2</sub>	0.070	0.015	0.103	0.188	0.179	0.099	0.174	0.219	0.218	0.217	0.128	0.208	0.025	0.188	0.142	0.162	0.226	
MnO	0.037	0.024	0.067	0.058	0.061	0.028	0.080	0.085	0.175	0.084	0.054	0.070	0.169	0.072	0.053	0.041	0.182	
P <sub>2</sub> O <sub>5</sub>	0.054	0.139	0.091	0.085	0.092	0.060	0.087	0.103	0.100	0.102	0.049	0.102	0.353	0.065	0.073	0.037	0.105	0.060
L <sub>2</sub> O <sub>3</sub>	5.65	1.30	1.31	1.33	1.45	1.00	2.30	1.28	1.97	1.81	1.79	2.38	1.34	1.58	1.21	1.18	2.16	
Total	99.51	99.6	99.14	99.56	99.63	99.75	99.17	99.70	99.57	99.97	99.55	99.68	99.72	99.55	99.52	99.33		
Tr. el. (ppm)																		
Cl	9	65	42	46	13	6	16	10	44	4	4	3	11	28	33	11	19	6
S	10	9	8	15	10	8	10	30	30	34	9	14	7	10	13	10	8	9
Rb	34	92	71	37	38	54	44	51	40	47	41	60	102	58	47	33	37	47
Sr	172	30	119	243	266	150	281	333	322	231	281	171	39	176	236	218	313	448
V																		

**کتابنگاری**

خطیب، م.م.، ۱۳۷۷- هندسه پایانه گسلهای امتداد لغز، رساله دکترای دانشگاه شهید بهشتی، ۲۲۴ صفحه.

علوی نائینی، م.، لطفی، م.، ۱۹۸۹- نقشه زمین شناسی ۱:۱۰۰۰۰ نهبندان، سازمان زمین شناسی و اکتشافات معدنی کشور.

مهران، ن.آ.، صادقی بجد، م. و جوانشیر گیو، م.، ۱۳۷۹- بی جویی و اکتشاف گرانیتهای منطقه بی بی مریم و افضل آباد، طرح پژوهشی، دانشگاه بیرجند.

**References**

- Barbarin, B., 1999- A review of the relationships between granitoid types, their origins and their geodynamic environments, *Lithos*, 46:605-626.
- Chappell, B. W. & White, A. J. R., 1992- I-and S-type granites in the Lachlan Fold Belt, *Transactions of the Royal Society of Edinburgh:Earth Sciences*, 83:1-26.
- Chappell, B. W. & White, A. J. R., 2001-Two contrasting granite types:25years later, *Australian journal of earth sciences*, 48:489-499.
- Clarke, D. B., 1992- Granitoid rocks, Chapman & Hall, 283p.
- Debon, F. & Le Fort, P., 1983- A chemical-mineralogical classification of common plutonic rocks and associations. *Earth science* 73:135-149.
- Harker, A., 1909-The natural history of igneous rocks. Methuen, London, 348p.
- Irvine, T. N. & Baragar, W. R. A., 1971- A guide to the chemical classification of the common volcanic rocks, *Canadian journal of earth sciences*, 8:523-548.
- Maniar, P. D. & Piccoli, P. M., 1989-Tectonic discrimination of granitoids, *Geological Society of America Bulletin*, v. 101:635-643.
- Middlemost, E. A. K., 1985- Magmas and magmatic rocks, Longman scientific and Technical, 266p.
- Peacock, M. A., 1931- Classification of igneous rock series, *Journal of geology*, v.39:54-67.
- Pearce, J. A. Harris, N. B. W. & Tindle, A. G., 1984 - Trace element discrimination diagrams for the tectonic interpretation of granitic rocks, *Journal of petrology*, V. 25:956-983.
- Pitcher, W. S., 1997- The nature and origin of granite, Chapman & Hall, 387p.
- Raymond, L. A., 2002- Petrology, The study of igneous, sedimentary and metamorphic rocks. Mc Graw Hill, 720p.
- Rollinson, H. R., 1993-Using geochemical data, Longman scientific & Technical, 352p.
- Takahashi, M., Aramaki, S. & Ishihara, S., 1980- Magnetite-series/ilmenite-series vs. I-type/S-type granitoids, *Mining geology special issue*, No. 8:13-28.
- Tirrul, R., Bell, I. R., Griffis, R. J., Camp, V. E., 1983- The Sistan suture zone of eastern Iran, *Geological Society of America Bulletin*, V.94:134-150.
- Whalen, J. B., Currie, K. L., Chappell, B. W., 1987- A-type granites: geochemical characteristics, discrimination and petrogenesis, contributions to mineralogy and petrology, 95:407-419.
- Wilson, M., 1989- Igneous petrogenesis, Unwin Hyman, 466p.
- Winter, J. D., 2001- An introduction to igneous and metamorphic petrology, Prentice Hall, 699p.